



## Quadratic Gröbner bases of block diagonal matching field ideals and toric degenerations of Grassmannians

大杉英史  
関西学院大学理工学部

東京可換環論セミナー 2020年11月16日

東谷章弘氏との共同研究 (arXiv:2010.07104)

1



## Contents

### 本日の内容

1. Matching field ideal
2. 2-block diagonal matching field (先行結果)
3.  $s$ -block diagonal matching field (主結果と証明の概略)

2



## 1. Matching field ideal

定義.  $r, n \in \mathbb{Z}$ ,  $2 \leq r < n$ ,  $[n] := \{1, 2, \dots, n\}$

$K$ : 体

$\text{Gr}(r, n) : K^n$  の  $r$  次元部分空間全体 Grassmannian

$\mathbf{I}_{r,n} := \{I \subset [n] : |I| = r\}$

$S = K[P_I : I \in \mathbf{I}_{r,n}] : K$  上の  $\binom{n}{r}$  変数多項式環

$X = (x_{ij})_{1 \leq i \leq r, 1 \leq j \leq n} : r \times n$  変数行列

$R = K[x_{ij} : 1 \leq i \leq r, 1 \leq j \leq n] : K$  上の  $rn$  変数多項式環

$\psi: S \rightarrow R, P_I \mapsto \det(X_I)$  環準同型 ( $X_I$  は  $I$  に対応する  $X$  の  $r \times r$  部分行列)

$\mathbf{I}_{r,n} := \text{Ker}(\psi) : \text{Plücker ideal}$

$A_{r,n} := \text{Im}(\psi) : \text{Plücker algebra}$

3



## 1. Matching field ideal

例.  $r = 2, n = 5$

$$X = \begin{pmatrix} x_{11} & x_{12} & x_{13} & x_{14} & x_{15} \\ x_{21} & x_{22} & x_{23} & x_{24} & x_{25} \end{pmatrix}$$

このとき,  $\mathbf{I}_{2,5}$  は以下のような多項式で生成される:

$$P_{\{1,4\}}P_{\{2,3\}} - P_{\{1,3\}}P_{\{2,4\}} + P_{\{1,2\}}P_{\{3,4\}}$$

$$P_{\{1,5\}}P_{\{2,3\}} - P_{\{1,3\}}P_{\{2,5\}} + P_{\{1,2\}}P_{\{3,5\}}$$

$$P_{\{1,5\}}P_{\{2,4\}} - P_{\{1,4\}}P_{\{2,5\}} + P_{\{1,2\}}P_{\{4,5\}}$$

$$P_{\{1,5\}}P_{\{3,4\}} - P_{\{1,4\}}P_{\{3,5\}} + P_{\{1,3\}}P_{\{4,5\}}$$

$$P_{\{2,5\}}P_{\{3,4\}} - P_{\{2,4\}}P_{\{3,5\}} + P_{\{2,3\}}P_{\{4,5\}}$$

Plücker relation

4



## 1. Matching field ideal

定義.  $\mathfrak{S}_r : r$  次対称群

写像  $\Lambda: \mathbf{I}_{r,n} \rightarrow \mathfrak{S}_r$  を  $r \times n$  matching field という。

各元  $I = \{i_1, \dots, i_r\} \in \mathbf{I}_{r,n}$  ( $1 \leq i_1 < \dots < i_r \leq n$ ) に対して,  
 $R$  の単項式

$$x_{\Lambda(I)} := x_{\sigma(1)i_1} \cdots x_{\sigma(r)i_r} \quad (\text{ただし, } \sigma = \Lambda(I) \in \mathfrak{S}_r)$$

を対応させ, 環準同型

$$\psi_\Lambda: S \rightarrow R, \quad \psi_\Lambda(P_I) = \text{sgn}(\Lambda(I)) x_{\Lambda(I)}$$

を定義する。

このとき,  $J_\Lambda := \text{Ker}(\psi_\Lambda)$  を **matching field ideal** という。

5



## 1. Matching field ideal

定義.  $r \times n$  matching field  $\Lambda$  が **coherent**

$\Leftrightarrow_{\text{def}} r \times n$  実行列  $M$  が存在して, 以下をみたとす:

$$\forall I \in \mathbf{I}_{r,n}, \quad \text{in}_M(\det(X_I)) = \psi_\Lambda(P_I) \quad \text{イニシャルフォーム (最小の重み)}$$

●このとき,  $J_\Lambda$  を  $J_M$  で表す。

例 (diagonal matching field  $\Lambda(I) = \text{id}$  ( $\forall I \in \mathbf{I}_{r,n}$ ))

$$M = \begin{pmatrix} 0 & \cdots & 0 & 0 & 0 \\ n-1 & \cdots & 2 & 1 & 0 \\ 2(n-1) & \cdots & 4 & 2 & 0 \\ \vdots & \cdots & \vdots & \vdots & \vdots \\ (r-1)n-1 & \cdots & 2(r-1) & r-1 & 0 \end{pmatrix} \quad \text{とすると,}$$

各  $I \in \mathbf{I}_{r,n}$  に対して,  $\text{in}_M(\det(X_I))$  は主対角になる。

6

## 1. Matching field ideal

例.  $r = 2, n = 5$  (diagonal matching)

$$\Lambda(I) = \text{id} \quad (\forall I \in \mathcal{I}_{2,5}) \quad M = \begin{pmatrix} 0 & 0 & 0 & 0 & 0 \\ 4 & 3 & 2 & 1 & 0 \end{pmatrix}$$

$$X_{\{1,2\}} = x_{11}x_{22} - x_{12}x_{21}, \quad X_{\{1,3\}} = x_{11}x_{23} - x_{13}x_{21}, \quad \dots$$

このとき,  $J_\Lambda$  は以下のような多項式で生成される:

$$P_{\{1,4\}}P_{\{2,3\}} - P_{\{1,3\}}P_{\{2,4\}}$$

$$P_{\{1,5\}}P_{\{2,3\}} - P_{\{1,3\}}P_{\{2,5\}}$$

$$P_{\{1,5\}}P_{\{2,4\}} - P_{\{1,4\}}P_{\{2,5\}}$$

$$P_{\{1,5\}}P_{\{3,4\}} - P_{\{1,4\}}P_{\{3,5\}}$$

$$P_{\{2,5\}}P_{\{3,4\}} - P_{\{2,4\}}P_{\{3,5\}}$$

7

## 1. Matching field ideal

定義. イデアル  $I \subset K[y_1, \dots, y_m]$  と重み  $w \in \mathbb{R}^m$  に対して,  $w$  に関するイニシャル退化が **トリーク**

$\Leftrightarrow \text{def}$   $\text{in}_w(I)$  が2項式で生成される素イデアル  
イニシャルフォームイデアル

$$I_{2,5} \begin{matrix} P_{\{1,4\}}P_{\{2,3\}} - P_{\{1,3\}}P_{\{2,4\}} + P_{\{1,2\}}P_{\{3,4\}} \\ P_{\{1,5\}}P_{\{2,3\}} - P_{\{1,3\}}P_{\{2,5\}} + P_{\{1,2\}}P_{\{3,5\}} \\ P_{\{1,5\}}P_{\{2,4\}} - P_{\{1,4\}}P_{\{2,5\}} + P_{\{1,2\}}P_{\{4,5\}} \\ P_{\{1,5\}}P_{\{3,4\}} - P_{\{1,4\}}P_{\{3,5\}} + P_{\{1,3\}}P_{\{4,5\}} \\ P_{\{2,5\}}P_{\{3,4\}} - P_{\{2,4\}}P_{\{3,5\}} + P_{\{2,3\}}P_{\{4,5\}} \end{matrix}$$

$J_\Lambda$  ( $\Lambda$  は diagonal m.f.)

8

## 2. 2-block diagonal (先行結果)

定義.  $\mathbf{a} = (a_1, \dots, a_s) \in \mathbb{Z}_{>0}^s$  が  $\sum_{i=1}^s a_i = n$  をみたすとする.

$k = 1, 2, \dots, s$  について,

$$I_k = \{\alpha_{k-1} + 1, \alpha_{k-1} + 2, \dots, \alpha_k\} = [\alpha_k] \setminus [\alpha_{k-1}]$$

(ただし,  $\alpha_0 = 0, \alpha_k = \sum_{i=1}^k a_i$ ) とおく.

このとき,  $\mathbf{a}$  に付随する  $s$ -block diagonal matching field  $\Lambda_{\mathbf{a}}$  を

$$\Lambda_{\mathbf{a}}(I) = \begin{cases} (1\ 2) & |I \cap I_q| = 1, q = \min\{t: I_t \cap I \neq \emptyset\} \\ \text{id} & \text{その他} \end{cases}$$

で定義する.

9

## 2. 2-block diagonal (先行結果)

注意.  $s$ -block diagonal matching field  $\Lambda_{\mathbf{a}}$  は coherent.

対応する重み行列は

$$M = \begin{pmatrix} 0 & 0 & \dots & 0 & 0 & \dots & 0 & \dots & 0 & 0 \\ \alpha_1 & \alpha_1 - 1 & \dots & 1 & \alpha_2 & \dots & \alpha_1 + 1 & \dots & \alpha_s & \dots & \alpha_s + 2 & \alpha_s + 1 \\ n\beta & (n-1)\beta & \dots & \dots & \dots & \dots & \dots & \dots & 2\beta & \dots & \beta & \dots \\ \vdots & \vdots & \vdots & \vdots & \vdots & \vdots & \vdots & \vdots & \vdots & \vdots & \vdots & \vdots \\ n\beta^{r-2} & (n-1)\beta^{r-2} & \dots & \dots & \dots & \dots & \dots & \dots & \dots & \dots & 2\beta^{r-2} & \beta^{r-2} \end{pmatrix}$$

ただし,  $\beta \gg 0$ .

例  $r = 3, n = 9, \mathbf{a} = (2, 2, 2, 3)$

$$M = \begin{pmatrix} 0 & 0 & 0 & 0 & 0 & 0 & 0 & 0 & 0 \\ 2 & 1 & 4 & 3 & 6 & 5 & 9 & 8 & 7 \\ 900 & 800 & 700 & 600 & 500 & 400 & 300 & 200 & 100 \end{pmatrix}$$

10

## 2. 2-block diagonal (先行結果)

定理 (Mohammadi-Shaw 2019)  $r \times n$  matching field  $\Lambda$  に対して

$\Lambda$  がトリーク退化を与える  $\Rightarrow \Lambda$  は "non-hexagonal"

さらに,  $r = 3$  かつ  $J_\Lambda$  が2次生成ならば,

$\Lambda$  がトリーク退化を与える  $\Leftrightarrow \Lambda$  は "non-hexagonal"

定理 (Mohammadi-Shaw 2019)  $3 \times n$  の任意の 2-block diagonal matching field  $\Lambda$  に対して,  $J_\Lambda$  は2次生成である.

定理 (Clarke-Mohammadi 2020)  $r \times n$  の任意の 2-block diagonal matching field  $\Lambda$  に対して,  $J_\Lambda$  は2次生成であり,  $\Lambda$  はトリーク退化を与える.

11

## 3. s-block diagonal (主結果)

定理 (Higashitani-O. 2020)  $\mathbf{a} = (a_1, \dots, a_s) \in \mathbb{Z}_{>0}^s$  ( $s \geq 2$ ) が

$$\sum_{i=1}^s a_i = n, \quad a_i \in \{1, 2\} \quad (1 < i < s) \quad \dots \star$$

をみたすとする,  $s$ -block diagonal matching field  $\Lambda_{\mathbf{a}}$  に対して  $J_{\Lambda_{\mathbf{a}}}$  は2次のグレブナー基底を持ち,  $\Lambda_{\mathbf{a}}$  はトリーク退化を与える.

注意  $s = 2$  の場合は,  $\star$  は常に成立する.

- この定理は Clarke-Mohammadi の結果を完全に含んでいる.
- 2次生成よりも強い主張で, 証明も先行研究より簡潔である.

12

### 3. s-block diagonal (主結果)

前半部分 (2次グレブナー基底の存在) の証明の流れ

$I = \{i_1, \dots, i_r\}$ ,  $i_1 < \dots < i_r$ ,  $\sigma = \Lambda(I)$  のとき,  
変数  $P_i$  を

$\Lambda(I) = \text{id}$  のとき  $\begin{bmatrix} i_1 \\ i_2 \\ i_3 \\ \vdots \\ i_r \end{bmatrix}$ ,  $\Lambda(I) = (1\ 2)$  のとき  $\begin{bmatrix} i_1 \\ i_2 \\ i_3 \\ \vdots \\ i_r \end{bmatrix}$   
と同一視する。



1. ある逆辞書式順序  $<$  を準備する。
2. 2部グラフの edge ring の結果を使って,  
 $s = 2$  の場合に,  $<$  に関して 2次GBを持つことを証明する。
3. 一般の  $s$  の場合に, グレブナー基底をなす 2項式を列挙し,  
上の 2 の結果も用いて, グレブナー基底であることを証明する。

### 3. s-block diagonal (主結果)

定義  $G$  : 有限単純 2部グラフ

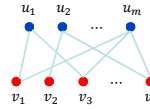
つまり,  $G$  の頂点集合が  $V(G) = U \sqcup V$  と分割され,  $G$  の辺集合が  $E(G) \subset U \times V$  をみたすとする。

$U = \{u_1, \dots, u_m\}, V = \{v_1, \dots, v_n\}$  のとき, 環準同型

$$\pi_G: K[x_{ij} : \{i, j\} \in E(G)] \rightarrow K[s_1, \dots, s_m, t_1, \dots, t_n], \quad x_{ij} \mapsto s_i t_j$$

について,  $I_G := \text{Ker}(\pi_G)$  を  $G$  の トリックイデアル,

$K[G] := \text{Im}(\pi_G)$  を  $G$  の edge ring という。



### 3. s-block diagonal (主結果)

命題 (Villarreal 1995)  $G$  : 2部グラフ

$I_G$  の任意の被約グレブナー基底は以下のような 2項式からなる :

$$x_{i_1 j_1} x_{i_2 j_2} \dots x_{i_q j_q} - x_{i_1 j_q} x_{i_2 j_1} \dots x_{i_q j_{q-1}}$$

ただし,  $(u_{i_1}, v_{j_1}, u_{i_2}, v_{j_2}, \dots, u_{i_q}, v_{j_q})$  は  $G$  のサイクル。

命題 (O-Hibi 1999) 2部グラフ  $G$  に対して, 以下は同値

- ①  $I_G$  は 2次生成,
- ②  $I_G$  は 2次グレブナー基底を持つ,
- ③  $G$  の長さが 6 以上のサイクルは弦を持つ。

### 3. s-block diagonal (主結果)

$\Lambda_M$  : 以下の重み行列に付随する  $2 \times n$  coherent matching

$$M = \begin{pmatrix} 0 & 0 & \dots & 0 & 0 \\ w_1 & w_2 & \dots & w_{n-1} & w_n \end{pmatrix} \quad w_i \neq w_j \text{ for } i \neq j$$

$G_M$  : 以下の頂点集合と辺集合を持つグラフ

$$V(G_M) = \{u_1, \dots, u_n\} \sqcup \{v_1, \dots, v_n\}$$

$$E(G_M) = \{\{u_i, v_j\} : w_i > w_j\}$$

このとき,  $J_{\Lambda_M} = I_{G_M}$  が成り立つ。

### 3. s-block diagonal (主結果)

また,

$$M_{\text{diag}} = \begin{pmatrix} 0 & 0 & \dots & 0 & 0 \\ n & n-1 & \dots & 2 & 1 \end{pmatrix}$$

とおけば,  $M_{\text{diag}}$  は diagonal matching の重み行列であり,

- $J_{M_{\text{diag}}}$  はある逆辞書式順序に関して 2次グレブナー基底を持つ。
- $G_M$  と  $G_{\text{diag}}$  はグラフとして同型なので,  $J_M = J_{M_{\text{diag}}}$

命題.  $2 \times n$  の任意の coherent matching field  $\Lambda$  に対して,  
 $J_\Lambda$  はある逆辞書式順序に関して 2次グレブナー基底を持つ。

### 3. s-block diagonal (主結果)

命題 (HO)  $2 \times n$  の  $s$ -matching field  $\Lambda_a$  が  $\star$  をみたすとき,

$$\begin{bmatrix} i \\ j \end{bmatrix} > \begin{bmatrix} k \\ \ell \end{bmatrix} \Leftrightarrow \llbracket i < k \rrbracket \text{ or } \llbracket i = k \text{ and } j < \ell \rrbracket$$

で定義される逆辞書式順序に関して

$$\left\{ \begin{bmatrix} i \\ \ell \end{bmatrix} \begin{bmatrix} k \\ j \end{bmatrix} - \begin{bmatrix} i \\ j \end{bmatrix} \begin{bmatrix} k \\ \ell \end{bmatrix} \in S : i < k \text{ and } j < \ell \right\}$$

は  $J_{\Lambda_a}$  のグレブナー基底である。

$r \times n$  の場合に, 以下で定義される逆辞書式順序を考える :

$$\begin{bmatrix} i_1 \\ \vdots \\ i_r \end{bmatrix} > \begin{bmatrix} j_1 \\ \vdots \\ j_r \end{bmatrix} \Leftrightarrow i_k = j_k \text{ for } k = 1, \dots, t-1 \text{ and } i_t < j_t$$

### 3. s-block diagonal (主結果)

グレブナー基底

(i)  $\begin{bmatrix} i_1 \\ i_2 \\ i_3 \\ \vdots \\ i_r \end{bmatrix}, \begin{bmatrix} j_1 \\ j_2 \\ j_3 \\ \vdots \\ j_r \end{bmatrix} \in S \text{ and } i_1 < j_1 \implies \begin{bmatrix} i_1 \\ i_2 \\ i_3 \\ \vdots \\ i_r \end{bmatrix} - \begin{bmatrix} j_1 \\ j_2 \\ j_3 \\ \vdots \\ j_r \end{bmatrix} \in J_{\Lambda_a},$

(ii)  $\begin{bmatrix} i_2 \\ i_1 \\ i_3 \\ \vdots \\ i_r \end{bmatrix}, \begin{bmatrix} j_1 \\ j_2 \\ j_3 \\ \vdots \\ j_r \end{bmatrix} \in S \text{ and } i_2 < j_1 \implies \begin{bmatrix} i_2 \\ i_1 \\ i_3 \\ \vdots \\ i_r \end{bmatrix} - \begin{bmatrix} j_1 \\ j_2 \\ j_3 \\ \vdots \\ j_r \end{bmatrix} \in J_{\Lambda_a},$

(iii)  $\begin{bmatrix} i_1 \\ i_2 \\ i_3 \\ \vdots \\ i_r \end{bmatrix}, \begin{bmatrix} j_2 \\ j_1 \\ j_3 \\ \vdots \\ j_r \end{bmatrix} \in S \text{ and } i_2 < j_2 \implies \begin{bmatrix} i_1 \\ i_2 \\ i_3 \\ \vdots \\ i_r \end{bmatrix} - \begin{bmatrix} j_2 \\ j_1 \\ j_3 \\ \vdots \\ j_r \end{bmatrix} \in J_{\Lambda_a},$

⋮

$$1 \leq i_1 < i_2 < \dots < i_r \leq n,$$

$$1 \leq j_1 < j_2 < \dots < j_r \leq n,$$

$$i'_k = \min\{i_k, j_k\} \text{ for } k = 1, \dots, r,$$

$$j'_k = \max\{i_k, j_k\} \text{ for } k = 1, \dots, r.$$

19

### 3. s-block diagonal (主結果)

グレブナー基底

(iv)  $\begin{bmatrix} i_1 \\ i_2 \\ i_3 \\ \vdots \\ i_r \end{bmatrix}, \begin{bmatrix} j_2 \\ j_1 \\ j_3 \\ \vdots \\ j_r \end{bmatrix} \in S \text{ and } i_1 < j_2 \implies \begin{bmatrix} i_1 \\ i_2 \\ i_3 \\ \vdots \\ i_r \end{bmatrix} - \begin{bmatrix} j_2 \\ j_1 \\ j_3 \\ \vdots \\ j_r \end{bmatrix} \in J_{\Lambda_a},$

(v)  $\begin{bmatrix} i_2 \\ i_1 \\ i_3 \\ \vdots \\ i_r \end{bmatrix}, \begin{bmatrix} j_2 \\ j_1 \\ j_3 \\ \vdots \\ j_r \end{bmatrix} \in S \text{ and } i_2 < j_2 \implies \begin{bmatrix} i_2 \\ i_1 \\ i_3 \\ \vdots \\ i_r \end{bmatrix} - \begin{bmatrix} j_2 \\ j_1 \\ j_3 \\ \vdots \\ j_r \end{bmatrix} \in J_{\Lambda_a},$

(vi)  $\begin{bmatrix} i_1 \\ i_2 \\ i_3 \\ \vdots \\ i_r \end{bmatrix}, \begin{bmatrix} \ell_1 \\ \ell_2 \\ \ell_3 \\ \vdots \\ \ell_r \end{bmatrix} \in S \text{ and } \begin{matrix} \ell'_k = \min\{\ell_k, m_k\} \\ m'_k = \max\{\ell_k, m_k\} \end{matrix} \implies \begin{bmatrix} i_1 \\ i_2 \\ i_3 \\ \vdots \\ i_r \end{bmatrix} - \begin{bmatrix} \ell_1 \\ \ell_2 \\ \ell_3 \\ \vdots \\ \ell_r \end{bmatrix} \in J_{\Lambda_a},$

⋮

(vii)  $\begin{bmatrix} i_1 \\ i_2 \\ i_3 \\ \vdots \\ i_r \end{bmatrix}, \begin{bmatrix} m_1 \\ m_2 \\ m_3 \\ \vdots \\ m_r \end{bmatrix} \in S \text{ and } \begin{matrix} w_{i_1} > w_{m_2}, \\ w_{m_1} > w_{i_2}, \\ \ell_1 < m_1, \\ m_2 < \ell_2, \\ \ell_k \leq m_k \text{ for } k \geq 3 \end{matrix} \implies \begin{bmatrix} i_1 \\ i_2 \\ i_3 \\ \vdots \\ i_r \end{bmatrix} - \begin{bmatrix} m_1 \\ m_2 \\ m_3 \\ \vdots \\ m_r \end{bmatrix} \in J_{\Lambda_a},$

$$1 \leq i_1 < i_2 < \dots < i_r \leq n,$$

$$1 \leq j_1 < j_2 < \dots < j_r \leq n,$$

$$i'_k = \min\{i_k, j_k\} \text{ for } k = 1, \dots, r,$$

$$j'_k = \max\{i_k, j_k\} \text{ for } k = 1, \dots, r.$$

20

### 3. s-block diagonal (主結果)

後半部分 (トーリック退化) の証明の概要

定義.  $\{X_I : I \in \mathbf{I}_{r,n}\} \subset R$  が重み行列  $M$  に関する  $A_{r,n}$  のSAGBI 基底

$\Leftrightarrow_{\text{def}} \forall I \in \mathbf{I}_{r,n}$  に対して,  $\text{in}_M(X_I)$  が単項式で,

$$\text{in}_{w_M}(A_{r,n}) = K[\text{in}_M(X_I) : I \in \mathbf{I}_{r,n}]$$

ただし,  $w_M$  は重み行列  $M$  に付随する  $P_I$  たちへの重みである。

定理.  $\{X_I : I \in \mathbf{I}_{r,n}\} \subset R$  が重み行列  $M$  に関する  $A_{r,n}$  のSAGBI 基底

$\Leftrightarrow \text{in}_{w_M}(I_{r,n}) = J_M$

$\Rightarrow \Lambda_M$  はトーリック退化を与える

21

### 3. s-block diagonal (主結果)

$A_a := S/J_{\Lambda_a}$  : coherent matching field  $\Lambda_a$  に付随する toric ring

$A_0 := A_{(n)}$  (つまり diagonal m.f. の toric ring)

$[A_a]_2 : A_a$  の次数 2 の元によって生成される,  $A_a$  の  $K$ -部分空間

補題 (HO)  $r \times n$  の  $s$ -matching field  $\Lambda_a$  に対して,

$$\dim_K([A_a]_2) = \dim_K([A_0]_2)$$

注: この補題については, 条件 ★ は不要である。

- この補題と,  $J_{\Lambda_a}$  が 2 次生成という事実から, Clarke-Mohammadi の議論が適用可:

$$H := (\text{in}(g_1), \dots, \text{in}(g_s)) \subset \text{in}_{w_M}(I_{r,n}) \subset J_M$$

$H$  の極小生成系

(ただし,  $s$  は  $I_{r,n}$  と  $J_M$  の生成元の数,  $g_1, \dots, g_s \in I_{r,n}$  は 2 次式)

22

### 参考文献

- O. Clarke and F. Mohammadi, Toric degenerations of Grassmannians and Schubert varieties from matching field tableaux, *J. Algebra* **559** (2020), 646-678.
- A. Higashitani and H. Ohsugi, Quadratic Gröbner bases of block diagonal matching field ideals and toric degenerations of Grassmannians. arXiv:2010.07104.
- F. Mohammadi and K. Shaw, Toric degenerations of Grassmannians from matching fields, *Algebraic Combinatorics* **2** (2019) 1109-1124.
- B. Sturmfels and A. Zelevinsky, Maximal minors and their leading terms, *Adv. Math.* **98** (1993), 65-112.

ご清聴ありがとうございました!

23